

平板의 땅대기 이운 燃燒時 가로 收縮의

近似的 計算式의 即便 研究

指導教授 王之錫



韓國海洋大學 船舶機械工學科4學年

南鳳熙 朴龍泰 柳基善

Table.3 예열온도의 변화에 따른 혁산성 수소량과 Δt_{150}
의 변화

		혁산성 수소량	Δt_{150}
예열 초기 압력	20°C	0.7% 수소량의 13%	1분 20초
	100°C	0.7% 수소량의 5%	—
예열온도	150°C	0.7% 수소량의 2%	9분 30초
	200°C	0.7% 수소량의 0%	—

目 次

1. 序 論
2. 平板의 熔接에 의한 溫度分布
3. 가로 收縮
4. 가로 收縮의 近似式
5. 實 驗
6. 結 論
7. 參考文獻
8. 부 록

A Study on the Approximate Formulas for Transverse Shrinkage for the Butt Joint Welding

Abstract

The mechanism of transverse shrinkage for the butt joint welding of plates is investigated in this paper. It was certified that the relative plastic strain due to thermal expansion of materials during heating play an important role on the transverse shrinkage. It was also pointed out that the transverse shrinkage has to be treated with the samples of which the shapes are as close to real shapes of welded materials as possible, because the distribution of temperature and relative rigidity of materials during welding have great influence on the transverse shrinkage.

The formulas for the calculation of transverse shrinkage were presented and the experiments were carried out in order to verify the formulas.

The main results are as follows;

1. For the bead-on-plate welding, the transverse shrinkage in the beginning parts of welding is the smallest, the end parts is next and the transverse shrinkage of mid section is the largest.
2. In bead-on-plate welding, the equations presented in this paper concerning transverse shrinkage coincide fairly well with the experimental values generally.
3. Transverse shrinkage increases generally as specific heat input per unit thickness increases.

Nomenclature

- a: Thermal diffusivity (cm^2/sec)
b: Width of samples (mm)
c: Specific heat input per unit thickness (cal/cm/cm)
c: Specific heat ($\text{cal/g/}^\circ\text{C}$)
E: Modulus of elasticity (kN/mm^2)
e: Measured error by angular displacement (mm)
I: Welding current (A)
K: Degree of constraint
Q: Intensity of heat source (cal/sec)
Sm: Measured error of transverse shrinkage (mm)
St': Transverse shrinkage under the constraint condition (mm)
St: True values of transverse shrinkage (mm)
Stf: Transverse shrinkage under the free condition (mm)
To: Room temperature ($^\circ\text{C}$)
T(x,y): Temperature at point (x,y) ($^\circ\text{C}$)
v: Welding voltage (V)
v: Welding speed (cm/sec)
x,y: Moving coordinates
 α : Coefficient of thermal expansion ($1/^\circ\text{C}$)
 β : Coefficient of heat transfer ($\text{cal/cm}^2/\text{sec}/^\circ\text{C}$)
S: Thickness of samples (mm)
 θ : Angular displacement (degree)
 η : Thermal efficiency
 λ : Thermal conductivity ($\text{cal/cm}/^\circ\text{C/sec}$)
 γ : Specific weight (g/cm^3)
 δ_0 : Elastic limit of materials (kN/mm^2)
 $K_0(\mu r)$: Bessel function of the second kind of order zero

1. 序 論

熔接이 部材의 接合手段 으로서 工業的으로 널리 利用되던 初期부터 熔接에 의한 变形은 差異를 中의 하나로 指摘되어 왔다.

大部分의 熔接方法에서 볼수 있는 바와 같이, 빠른 冷却速度를 隨伴하는 強烈한 局部 加熱에 의하여 큰 热膨脹이 發生하고 이로 因하여 생긴 壓縮塑性变形은 冷却後 接合된 材料를 使用할 때 熔接变形을 起起시키어 材料의 性能에 影響을 미친다.

熔接变形에는 熔接線 方向의 收縮인 세로收縮, 熔接線과 直角方向의 收縮인 가로收縮, 發生된 残留應力으로 因한 座屈, 回轉变形, 角变形 및 齒形变形 等이 있으며 이 중에서 가로收縮이 가장 큰 影響을 미쳐 熔接質을 決定하는 重要한 要因이 되고 있다.

지금까지의 가로收縮에 관한 研究內容은, 一次元 部材를 熔接할 때의 가로收縮을 實驗的으로 求하고, Fig 1과 같은 Slit-Type, H-Type, Ring-Type 및 D-Type 等의 試片에 대하여 가로收縮에 대응하는 拘束의 程度를 解析하고 拘束度를 定義하여 가로收縮과 拘束度와의 寧係를 求한 結果 다음과 같은 式을 얻었다

$$\frac{St'}{St_f} = \frac{1}{1 + 0.086 K^{0.87}} \quad (1)$$

여기서 St' 는 拘束狀態에서의 가로收縮이고 St_f 는 自由로운 狀態에서의 가로收縮이며 K 는 拘束度이다.

그러나 가로收縮을 誘發하는 热應力와 变形率이 被熔接材의 形象에 至大한 영향을 받고, 材料의 溫度分布와 变化推移도 形象에 따라

달라지기 때문에 피용접재가 위의 試片과 다른 모양을 하고 있다면 가로
收缩도 달라질 것이 구상된다.

따라서 本研究에서는 実験에서 가장 많이 쓰이는平板의 맞대기 이음接에
대하여, 가로收缩의 產生機構를 敘明하고 그의 近似的理論의 計算法를
提示하고자, 平板에 바이드온플레이트 때의 가로收缩을 近似的理論으로
計算하는 方法를 提示하였고, 이를 実驗으로 立證하였다.

実驗은 平板에 서브마이드 바이드온플레이트를 実施하고, 実施前後の 가로方向
길이를 재어 그 차를 가로收缩으로 정했다. 또한 平板의 맞대기 이음接에
適用할 수 있는지를 檢討하기 위하여 이에 관한 実驗도 実施한結果, 実際의
境遇와 같이 假接하여 놓고 焊接할 때는 平板에 바이드온플레이트 때의
理論을 그대로 適用할 수 있음을 確認하였다.

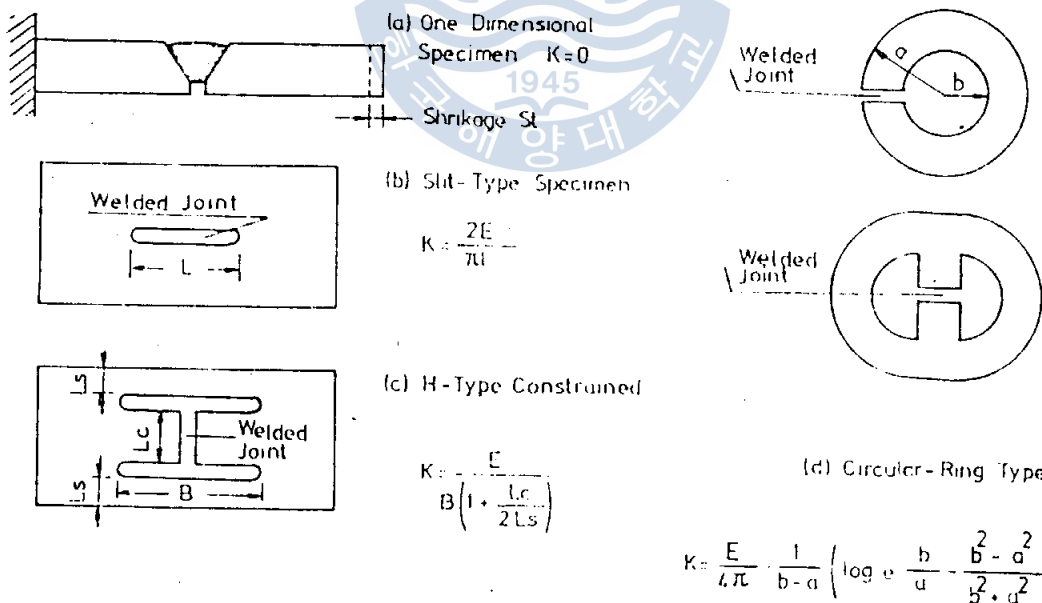


Fig.1 Specimen Type

(e) Θ-Type

2. 平板의 熔接에 의한 温度分布

熔接에 의한 变形은 根源의 热变形率 $\alpha \Delta T$ (α 는 热膨胀係数, ΔT 는 温度变化量이다)로부터 生生되며 가로收縮을 解析 하려면 熔接에 의한 温度分布를 알아야 한다.

熔接中の 温度分布에 대한研究는 많이 開展되어 있으며 그中에서 Rosenthal과 Rykaline의研究가 가장 잘 알려져 있다. 이들의研究에서는 热源은 黑점이라고 보았고 또한 材料의 크기는 無限大라고 做하여, 热源은 原點으로 取하고 热源의 進行方向을 x 軸으로 정하여, 热源을 지나고 热源의 進行方向과 垂直한 直線인 y 軸으로 하는 移動座標系로써 热傳導에 關한 定常热傳導方程式을 얻는다.

그러나 Rosenthal의 式에서는 平板의 兩面에서 芳生하는 對流와 辐射에 의한 热傳導을 無視하고 있기 때문에 Rykaline은 熔接始作時과 終了時의 過渡期에 適用할 있도록 表面의 热傳達量을 Newton의 热傳達係数 β (cal/cm²/sec/°C)로써 考慮하여 Rosenthal의 式을 改良하여 다음 式을 얻었다.

$$T(x,y) = \frac{Q}{2\pi\lambda\delta} e^{-\frac{\nu}{2a}x} K_0(\mu r) + T_0 \quad (2)$$

여기서
 Q : 热源強度 (cal/sec)
 λ : 热傳導係数 (cal/cm²/sec/°C)
 δ : 材料의 두께 (cm)
 ν : 熔接速度 (cm/sec)
 a : 热擴散係数 (cm²/sec)

$$a = \frac{\lambda}{\gamma c}, \mu = \sqrt{\left(\frac{\nu}{2a}\right)^2 + \frac{b}{a}}, b = \frac{2\beta}{\gamma c \delta}$$

γ : 材料의 比重 (g/cm³)
 c : 比熱 (cal/g/°C)
 β : 热傳達係数 (cal/cm²/sec/°C)
 $r = \sqrt{x^2 + y^2}, T_0$: 常溫

달라지기 때문에 피용접재가 위의 試片과 다른 모양을 하고 있다면 차로
收缩도 달라질 것이 猶豫된다.

따라서 本研究에서는 実務에서 가장 많이 쓰이는平板의 맞대기 引張接에
대하여, 차로 收縮의 產生機構를 刻明하고 그의 近似的理論과 計算法를
提示하고자, 平板에 비어드온 플레이트 時의 차로 收縮을 近似的理論으로
計算하는 方法를 提示하였고, 이를 実驗으로 立證하였다.

實驗은 平板에 서브머지도 비어드온 플레이트를 実施하고, 実施前後の 方向
길이를 재어 그 차를 차로 收縮으로 记하였다. 또한 平板의 맞대기 引張接에
適用할 수 있는지를 檢討하기 위하여 이에 관한 実驗도 実施한結果, 実際의
境遇와 같이 假接하여 놓고 引張接할 때는 平板에 비어드온 플레이트 時의
理論을 그대로 適用할 수 있음을 確認하였다.

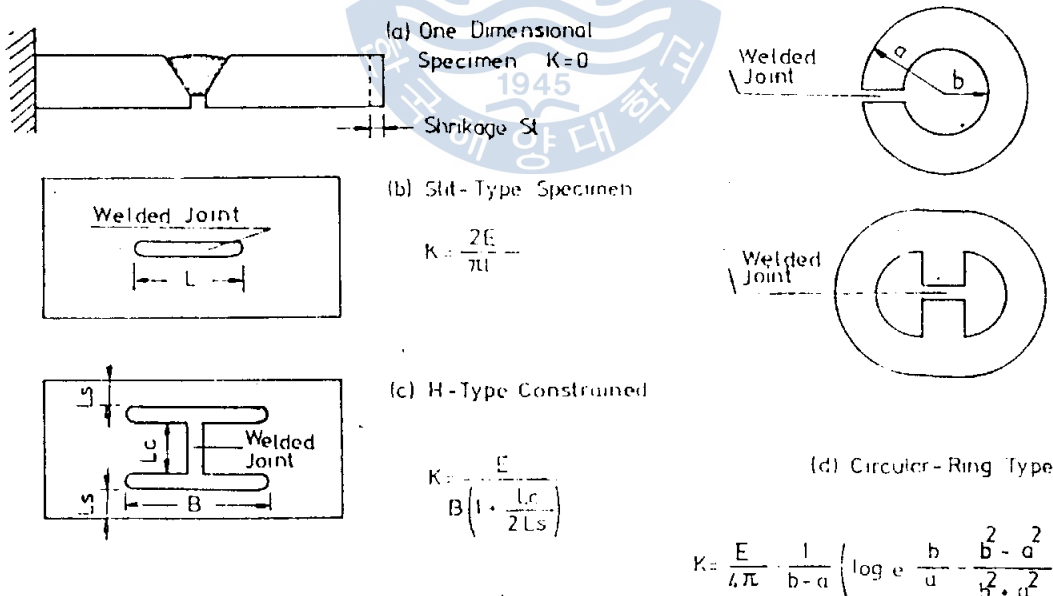


Fig.1 Specimen Type

(e) O-Type

2. 平板의 熔接의 温度分布

熔接의 温度分布는 根源의 热变形率 $\alpha \Delta T$ (α 是 热膨胀係数, ΔT 是 温度变化量) 由 부터 生生하므로 가로收縮을 解析하면 熔接의 温度分布를 알 수 있다.

熔接中の 温度分布에 대한 研究는 徒히 計算되어 있으며 그中에서 Rosenthal과 Rykaline의 研究가 가장 잘 알려져 있다. 이들의 研究에서는 热源은 點이라고 보고 또한 材料의 크기는 無限大라고 做하여, 热源은 原點으로 取하고 热源의 進行方向을 x 軸으로 정하여, 热源은 지나고 热源의 進行方向과 垂直한 直線을 y 軸으로 하는 移動座標系로써 热傳導에 關한 定常热傳導方程式을 얻는다.

그러나 Rosenthal의 式에서는 平板의 兩面에서 生生하는 對流과 辐射에 의한 热傳導을 無視하고 있기 때문에 Rykaline은 熔接始作時과 終了時의 過渡期에 適用할 수 있도록 表面에서의 热傳導量은 Newton의 热傳導係数 β ($\text{cal}/\text{cm}^2/\text{sec}/^\circ\text{C}$) 로서 考慮하여 Rosenthal의 式을 改良하여 다음 式을 얻었다.

$$T(x, y) = \frac{Q}{2\pi\lambda\delta} e^{-\frac{\nu}{2a}x} K_0(\mu r) + T_0 \quad (2)$$

여기서 Q : 热源強度 (cal/sec)

λ : 热傳導係数 ($\text{cal}/\text{cm}/^\circ\text{C}/\text{sec}$)

δ : 材料의 두께 (cm)

ν : 熔接速度 (cm/sec)

a : 热擴散係数 (cm^2/sec)

$$a = \frac{\lambda}{\gamma c}, \mu = \sqrt{\left(\frac{\nu}{2a}\right)^2 + \frac{b}{a}}, b = \frac{2\beta}{\gamma c \delta}$$

γ : 材料의 比重量 (g/cm^3)

c : 比熱 ($\text{cal}/\text{g}/^\circ\text{C}$)

β : 热傳導係数 ($\text{cal}/\text{cm}^2/\text{sec}/^\circ\text{C}$)

$r = \sqrt{x^2 + y^2}$, T_0 : 常溫

$T(x, y)$: 點 (x, y) 附近的 溫度

$K_0(\mu r)$ 是 0 (零) 次 第 2 種의 Bessel 函數로 다음과 같이 計算된다

$$K_0(\mu r) = \int_0^\infty e^{\mu r \cos \theta} d\theta$$

3. 加熱 收縮

熔接에 의한 加熱 收縮을 正確히 解析하려면 热應力이나 变形率 解析의 境遇와 마찬가지로 有限要素法이나 基他의 數值解析에 의한 热彈塑性 解析에 依存하는 수밖에 없는데 이方法은 計算課程도複雜하고 計算時間이 많이 所要되는 問題가 있다.

그러나 平板의 熔接에 의한 加熱 收縮 메커니즘을 考慮하면 이方法이 아니라도 훨씬 간단하게 加熱 收縮을 計算할 수 있다.

式(2)로 表示한 定常狀態의 溫度分布式를 利用하여, 두께 $\delta = 1$ cm의 軟鋼板을 热源強度 $Q = 1,000 \text{ cal/sec}$, 熔接速度 $v = 0.1 \text{ cm/sec}$, 表面熱傳達係數 $\beta = 0.0014 \text{ cal/cm}^2/\text{sec}/{}^\circ\text{C}$ 로 熔接 할 때의 溫度分布曲線을 그리면 Fig 2와 같다.

熱源近方에서 急激한 溫度变化를 보이고 特히 热源前方에서 溫度가 급격히 상승한다. 또한 平板에 等溫線을 그려보면 檍圓으로 나타남을 볼 수 있다. 한편 热應力과 变形率에 至大한 影響을 미치는 材料의 物性值인 弹性限度 G , 弹性係數 E , 热膨脹係數 α 의 溫度依存性을 보면 Fig 3과 같다. 弹性限度 및 弹性係數才約 300°C 로 부터 減少하기始作하여 約 700°C 程度에서 거의 零으로 되고 弹性係數의 应力を 지탱할 수 없어 된다. 이러한 物性值을 熔接하고 있는 平板에 適用시켜보면, Fig 4(c)에서 보는 바와 같이 700°C 를 等溫線으로 하는 檍圓內에는 应力이 거의 생기지 않는다. 또한 이 檍圓의 長徑 및 短徑上의 溫度分布와 弹性係數, 弹性限度의 分布를 나타내면 同圖 (a) 및 (b)와 같다.

이 그림에서 알 수 있는 바와 같이 700°C 等 溫線 桥圓은 相對的으로
強한 材料에 둘러싸여 있으므로 엄청나게 큰 热膨脹率($\alpha(T)$)에도 불구하고
膨胀과 收縮은 일어나지 않는다. 그 理由는 热膨脹率와 塑性变形率로
吸收되기 때문이다 (但 板의 垂直方向으로는 热膨脹과 收縮이 일어나는데
이는 가로 收縮과 無關하다)

그런데 煙源이 앞으로進行한 때 따라 桥圓은 앞으로 平行 移動하게 되고
이 桥圓을 벗어난 지점은 이때부터 弹性係数 E 와 弹性限度 σ_0 는 커지기
시작하고 材料가 冷却하면서 收縮한다.

이때부터의 가로 方向 收縮이 冷却後에 가로 收縮이 된다. 따라서 가로 方向
收縮을 計算하면 가로 收縮을 얻을 수 있다.

熔接線의 温度가 700°C 到達했을 때의 方向 温度分布를 $T_{700}(y)$ 라고
Fig 4(d)에 나타내었다. 가로 收縮 S_t 를 計算하면 다음과 같다.

$$S_t = \int \left(\int_{T_0}^{T_{700}(y)} \alpha(T) dT \right) dy \quad (3)$$

여기서 $\alpha(T)$ 는 热膨脹係数로서 一般的으로 温度 T 의 函數이다.

$\alpha(T)$ 를 常溫에서 700°C 까지의 平均值로 잡아 近似的으로一定하다고 보면 式 (3)은
다음과 같이 된다.

$$S_t = \alpha \int (T_{700}(y) - T_0) dy \quad (4)$$

以上은 軟綱에 대한 가로 收縮이지만 다른 金屬材料의 平板을 熔接할
때도 똑같이 適用할 수 있다.

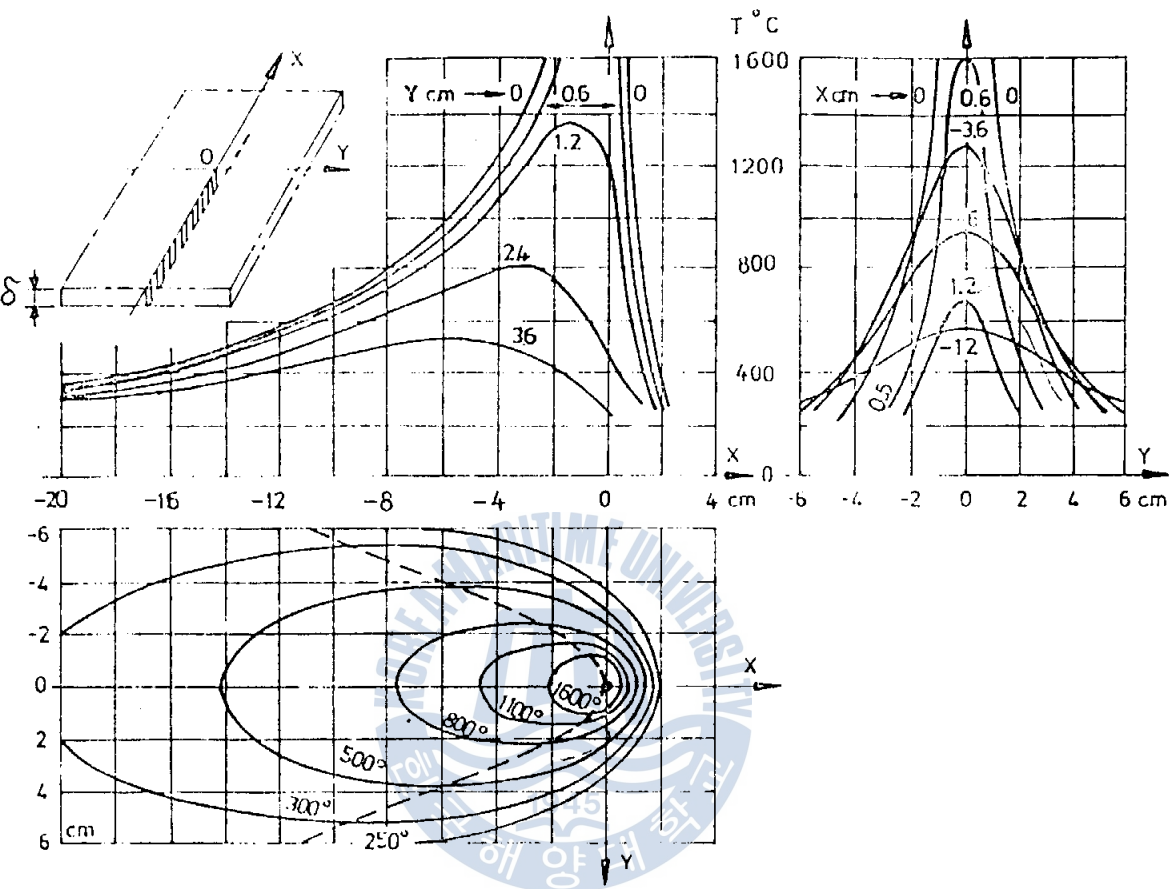


Fig.2 Steady State Temperature Distribution for the Welding of Plate

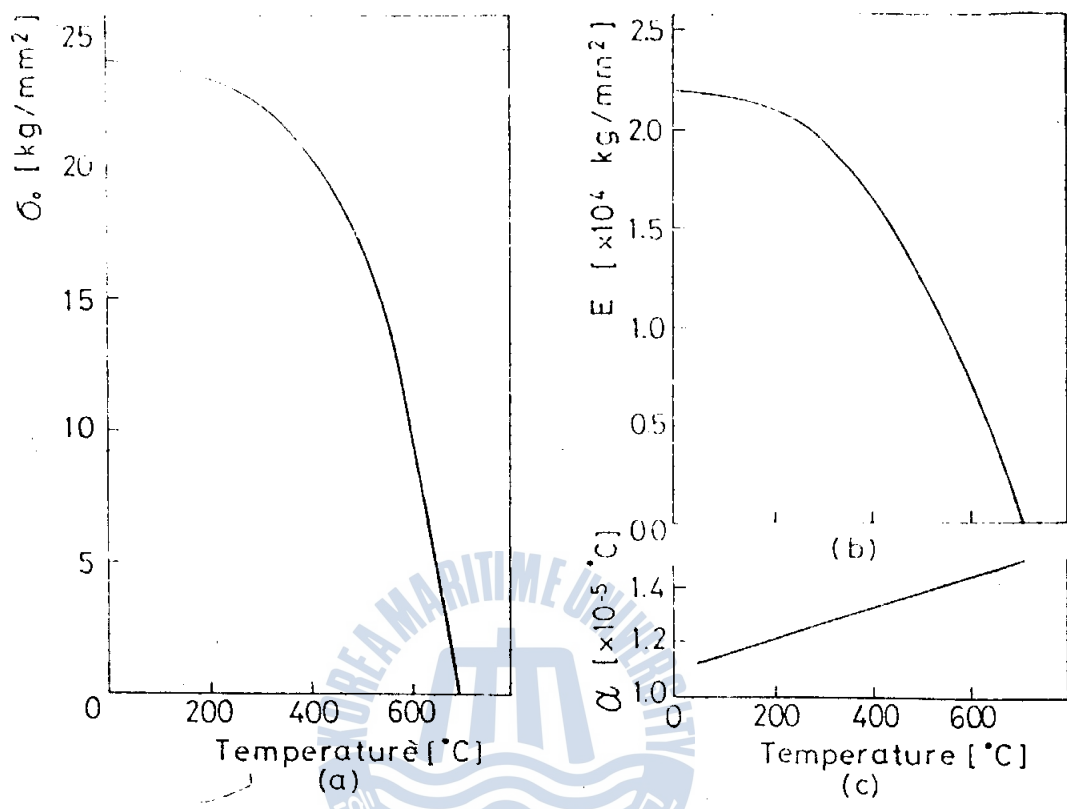


Fig.3 Characteristics of Mild Steel

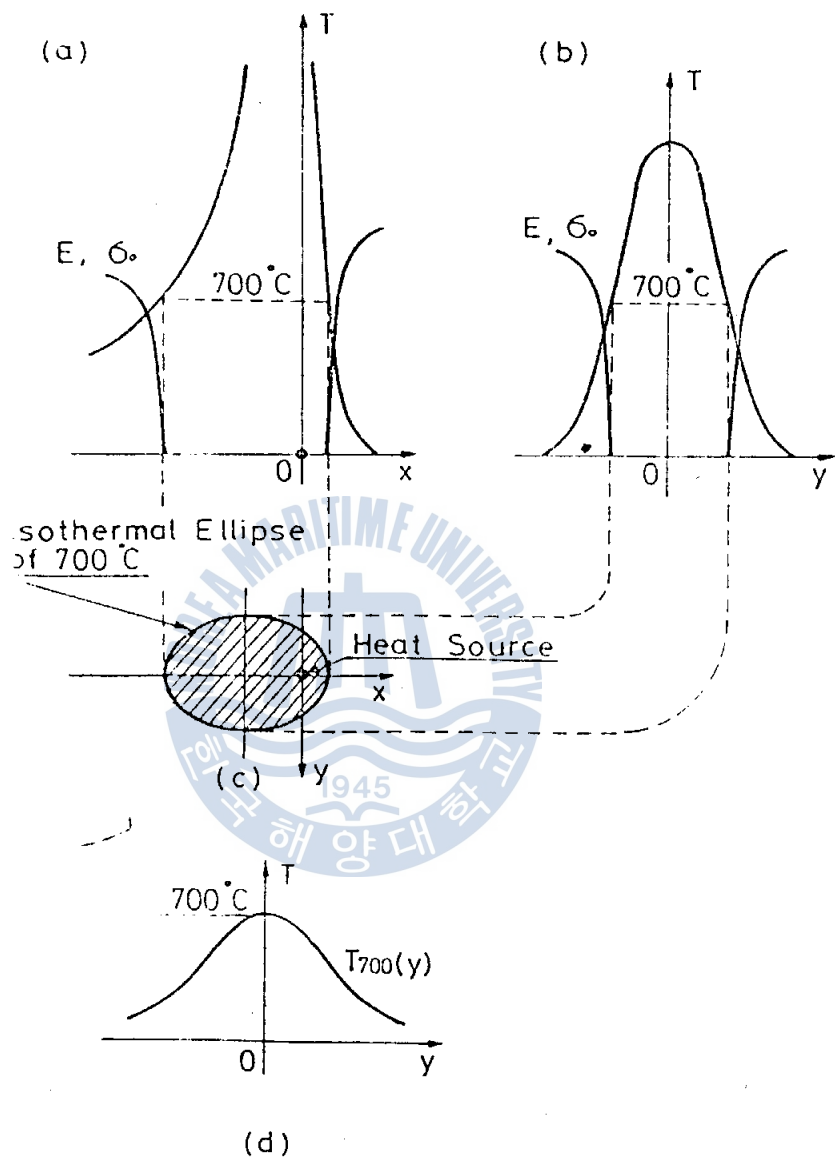


Fig.4 The Distribution of Modulus of Elasticity(E) and Elastic Limit(σ_0) around the Heat Source

4. 가로收縮의 近似式

前節에서 보는 바와 같이 가로收縮은 精分形態로 되어 있다.
이 精分은 컴퓨터를 利用하는 數值精分을 하여야만 한다.
따라서 單位두께당의 入熱量만 알면 바로 計算할 수 있는 近似式
을 여기서 提示하고자 한다.

單位두께당 入熱量을 x , 가로收縮을 y 라 두고 이를 2次式으로
表示한다. $x=0$ 일때 y 가 0인점을 감안하여 가로수축을 다음과
같이 표시할 수 있다.

$$y = ax^2 + bx \quad (5)$$

$$x = 6564 \text{ 일때 } y = 0.0577$$

$$x = 13589 \text{ 일때 } y = 0.0935 \text{ 이므로}$$

이들을 (5)식에 대입하여 a, b 를 구하면

$$a = -2.71810 \times 10^{-10}$$

$$b = 1.0574 \times 10^{-5}$$

따라서 /

$$y = -2.71810 \times 10^{-10}x^2 + 1.0574 \times 10^{-5}x \quad (6)$$

5. 実験

本研究에서 提示한 가로 收縮의 計算식 (3) 및 (4)를 檢證하기 위하여
沿規格을 使用하여 実験하였다.

一次実験의 試片은 두께 6mm의 SS-41軟鋼板으로 가로 200mm, 세로 120mm의
그대로側面을 精密加工하여 다듬질하였고, Fig 7(a)와 같이 位置를 수는데
趴하고 그表示된 位置의 가로 方向 길이를 测定한 뒤 비어드온 플레이트를 実施
하였다. 이때 使用된 熔接電流(I), 熔接電压(V), 熔接速度(v)를
測定하고 热源強度 $Q = 0.24 \pi V I$ 를 計算하였다. 예서 기는 热效率로
金屬電極의 境遇 60% 内外이고 Flux 熔接인 境遇 25-95% 이므로
本研究에서는 $\eta = 0.9$ 로 取했다. 試片이 完全히 冷却한 後 表示된 位置를
마이크로 미터로 쟀어 그 差로써 가로 收縮을 取했다.

二次実験은一次実験과 同一한 方法으로 두께 6mm 試片을 가로 210mm
세로 115mm로 加工하여 두장의 試片을 Fig 7(b)와 같이 假接하고 몇대가
이음 熔接을 実施하였다. 熔接前後의 表示된 位置를 마이크로 미터를
利用하여 가로 方向의 길이를 测定하고 그 差로써 가로 收縮을 算았다.
이 境遇에 熔接線(熱源의 進行方向)을 中心으로 각간의 角変位(本実験
結果 最大 2.5 度)가 產生되므로 角変位에 의한 가로 收縮의 影響을 考慮
하면 正確한 가로 收縮을 구할 수 있다.

実験装置의 構造略図를 나타내면 Fig 8과 같다.

비어드온 플레이트 熔接에서 测定한 가로 收縮의 様相을 Fig 9이나 나타내었다.
그림에서 보는 바와 같이 가로 收縮은 平板의 测定 位置에 따라 다르다.
一般的으로 熔接時作部의 가로 收縮이 제일 작고 熔接終了部가 그 다음
주으며 中間部의 가로 收縮이 가장 크다.

熔接始作時와 終了時는 遷渡期에 해당하는 것으로 定常熱傳導方程式이
適用될 수 있는 곳이다. 따라서 가로 收縮은 中間部의 改을 取했다.

• 試片規格

(單位: mm)

寬 度 mm	厚 度 mm	長 度 mm	中 間 部 分 mm	熔接方法	試片
1次	6.0	200	120	Bead-on-plate Submerged Arc Welding	
2次	6.0	210	115	Butt Joint Submerged Arc Welding	SS-41

• Wire 規格

品種	用途	化學成分(%)				直徑 (mm)
		C	Si	Mn	Cr	
KD-40	軟鋼熔接用	0.08	0.01	0.45	—	3.5

• Flux 規格

品種	形 式	化學成分(%)			
		C	Si	Mn	S
KYF-15	熔融兩面形	0.10	0.23	0.95	0.02

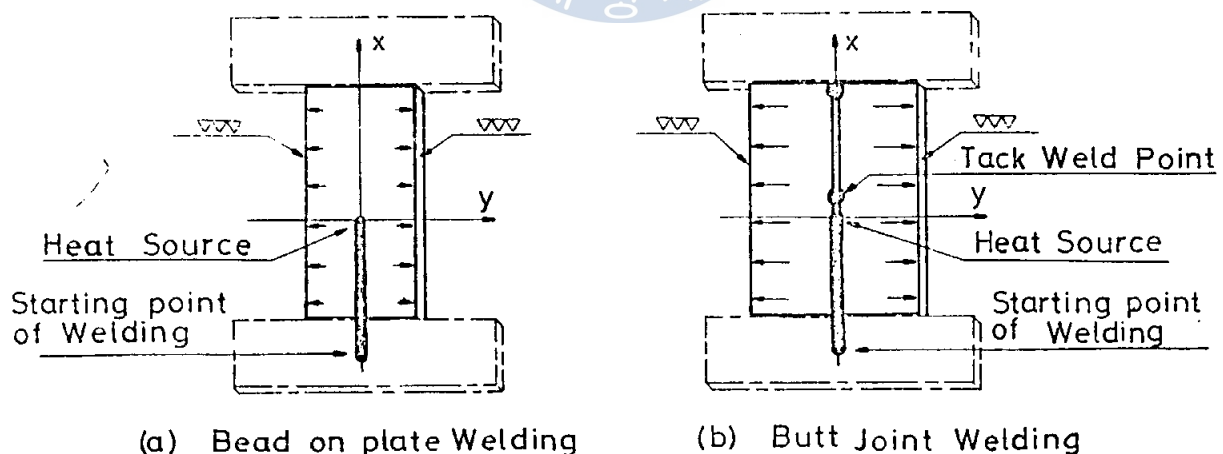


Fig.7 Configuration of Specimen

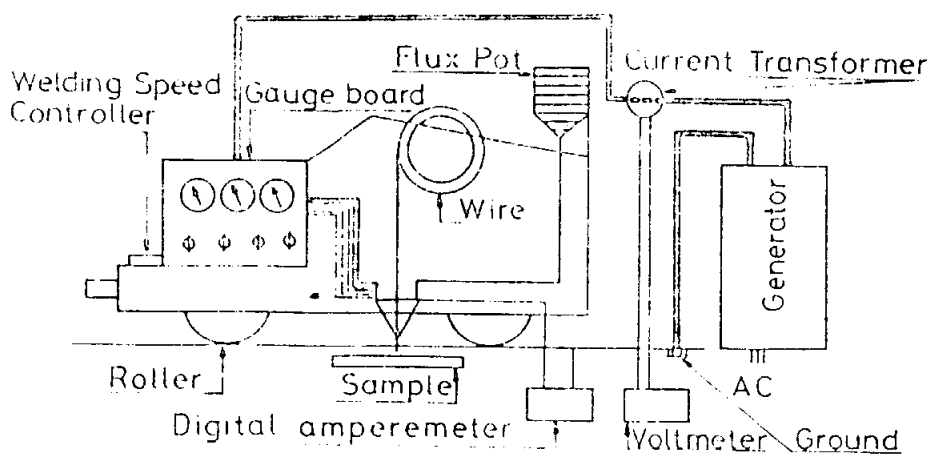


Fig.8 Schematic Diagram of Experimental Device



Experimental Device

1. Digital Amperemeter
2. Voltmeter
3. Current Transformer
4. Flux pot
5. wire
- b. Welding Speed Controller
7. Gauge Board
8. Roller
9. Sample

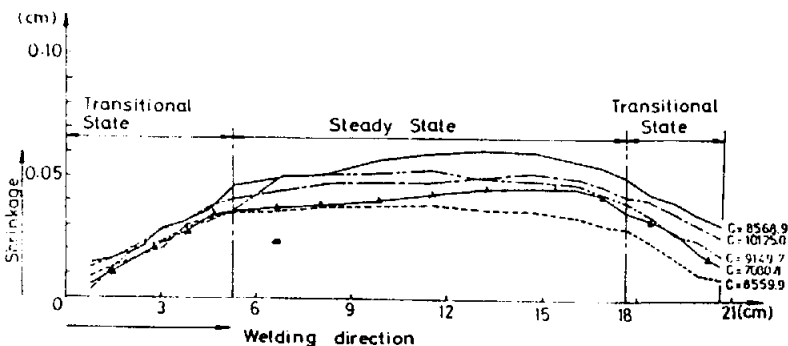


Fig. 9. Typical transverse shrinkage of bead-on-plate welding.

Fig. 10은 비드온 플레이트 때의 가로 수축을 나타낸 것이다. 가로軸에 單位 두께당의 入熱量 $C = \frac{Q}{V\delta}$ (cal/cm/cm²)를 잡고 세로軸에 가로 수축을 잡아 実測值과 計算值를 나타내었다. 여기서 計算值는 式 (4)에 의하여 計算한 값이고 이때 α 는 12.3×10^{-6} ($1/^\circ C$)로 잡았다.

그림에서 明白한 바와 같이 單位 두께당 入熱量이 커지면 가로 수축도 크게 되는데 比例 하지는 않는다.

앞에서 이은 熔接時 가로 수축의 様相을 나타내면 Fig. 11과 같다. 이 実驗結果 実驗值와 計算值가 잘一致함을 볼 수 있다. 따라서 앞에서 이은 熔接時에도 本研究에서 提示한 式 (3) 및 (4)를 適用할 수 있음을 알 수 있다.

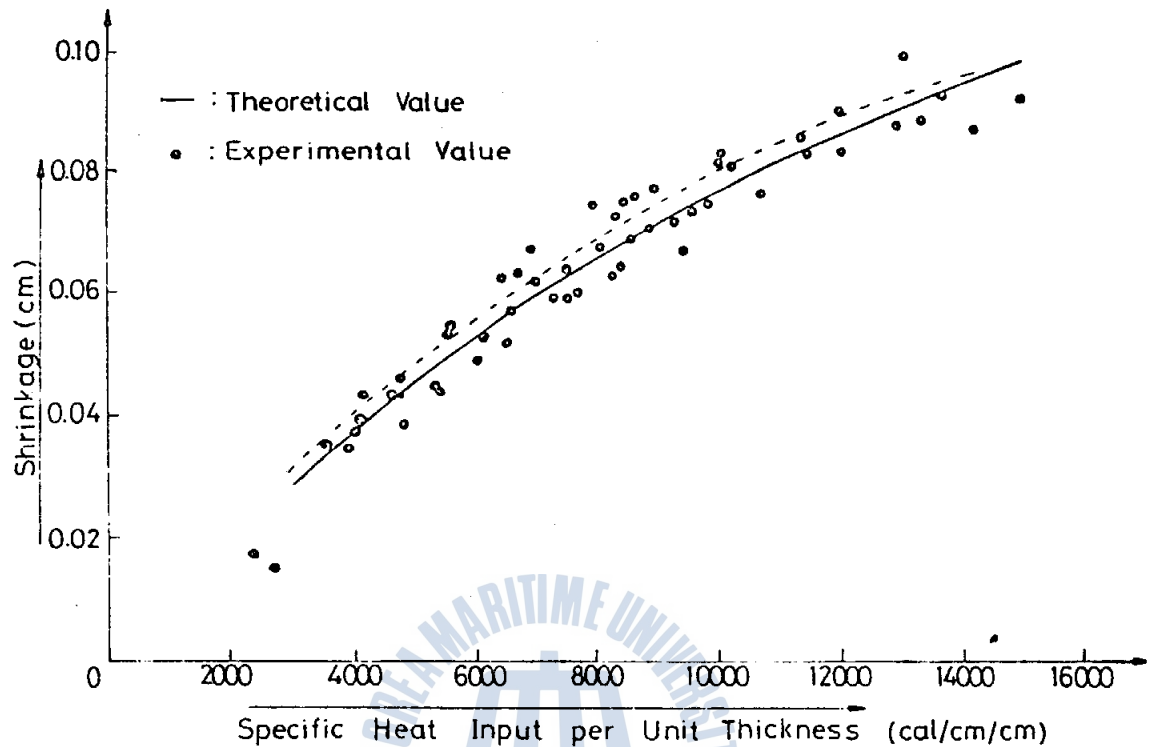


Fig.10 Transverse Shrinkage in Bead-on-plate

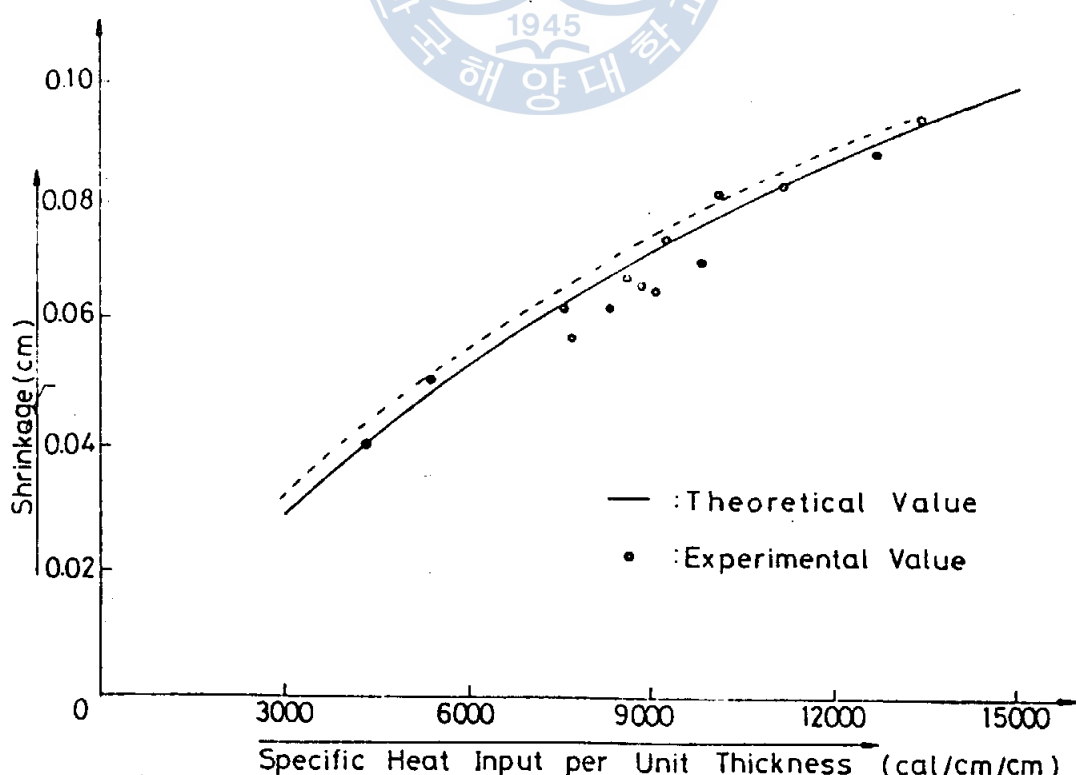


Fig.11 Transverse Shrinkage in Butt Joint Welding

6. 結論

平板의 베이드온플레이트時 가로收縮의 메카니즘을考慮하여 가로收縮의計算式(3) 및 (4)를 提示하였고 이를 檢證하기 위하여 実驗結果 다음과 같은 結論을 얻었다.

1. 가로收縮은 熔接中の溫度分布와 热应力 및 热变形率에 따라 크게 다르게 되므로 實際와 같은 形態의 모델로써 다루어야 한다.
2. 平板에 베이드온플레이트 熔接을 하면 熔接始作時의 가로收縮이 제일 작고 焊了部가 그 다음 작으며 中向部의 가로收縮이 가장 크다.
3. 平板에 베이드온플레이트 熔接時 가로收縮에 관하여 本研究에서 提示한 式(4)는 一般的으로 實驗值와 잘一致한다.
4. 一般的으로 單位 두께당의 入熱量이 증수록 가로收縮이 커지게 된다.
5. 가로收縮에 대한 近似的 計算式은 다음과 같다

$$y = -2.71810x^2 + 1.0574 \times 10^5 x$$

6. 平板의 베이드온플레이트 熔接時의 가로收縮에 관한 理論은 平板의 몇대기 이음 1 PASS 熔接에도 그대로 適用할 수 있으며 다른 假接의 適正間隔과 多層熔接에의 適用에 관하여서는 앞으로 더研究할必要가 있다.

參 考 文 獻

1. N.N. Rykaline , "Calcul des processus thermiques de Soudage" Soudage et Techniques Connexes (15), Janv. Fiev. , 1961, P.5-P.38.
2. Koichi Masubuchi , "Control of Distortion and Shrinkage in Welding" Welding Research Council - Bulletin (149) , 1970, P.1-P.29.
3. Koichi Masubuchi , "Rapport sur l'état des connaissances de Soudage et Techniques connexes 1976 . p.301 - p.308
4. 王之錫 , "熔接中 移動하는 热源에 依한 溫度分布에
關之研究" , 韓國船用機械學會誌 第六卷 第二號
(1982) , P.51 - P.68.
5. 嚴東錫 , "最新熔接工學" , 文運堂 , 1982 , P.132 - P.170.
6. Kenneth Easterling "Introduction to the physical Metallurgy
of Welding" Butterworths Monographs in Mat p.17 - p.47.

100. CUMULATIVE SHEAR STRESS AND PLATE END FORCES DUE TO SHEARING OF PLATES.

110. FUNCTION OF PLATES.

120. DIFFERENTIAL OF THE PLATE SHEAR STRESS.

130. INTEGRAL EQUATION OF THE PLATE SHEAR STRESS (INTEGRAL OF THE PLATE).

140. PLATE END FORCES OF PLATES.

150. AREA OF PLATE UNDER CONSIDERATION.

160. PLATE END FORCES OF PLATES.

170. PLATE END FORCES OF PLATES.

180. PLATE END FORCES OF PLATES.

190. PLATE END FORCES OF PLATES.

200. PLATE END FORCES OF PLATES.

210. PLATE END FORCES OF PLATES.

220. PLATE END FORCES OF PLATES.

230. X=0.00.

240. Y=0.00.

250. X=X+DX/2.

260. RYKAL=0, GOM, DEL, V, GOM, C, BL, T, X, O, J=20,

270. X=X+(T-BL)/2, Y=Y+BL, O=0.00, GOM=10,

280. T=T-BL, X=X

290. T=T-BL, X=X

300. GOM=3

310. DY=0.2

320. RYKAL=0, ALAM, DEL, V, GOM, C, BL, T, X, O, J=20,

330. Y=DY

340. DO 20 I=1,5000

350. RYKAL=0, ALAM, DEL, V, GOM, C, BL, T, X, O, J=20,

360. T=T-BL, O=20, GOM=25

370. J=I/2

380. J=J*2

390. IF(I .GT. J) T=T+4.*T

400. IF(I .EQ. J) T=T+2.*T

410. Y=Y+DY

420. SHRINK=2.*ALAM*T*DY/3. 1945

430. RETURN

440. END

C

FUNCTION RYKAL(O, ALAM, DEL, V, GOM, C, BL, T, X, O, J)

GAMC=GAMDC

A=BLAMZ/GAMC

B=-P_*_*BETA/_Z (GAMC*DEL)

VX=VX*X/(2.*O)

UR=RSQRT ((VX**2.+VY**2.)*Z/2.) + (VX*VY)/UR

UR=UR*UR

DP=ALAM*(UR-VX)/UR

EP=EXP (-VX-UR*COHP)

F=F+DP

DO 7 I=1,29,2

EP=EXP (P)

COHP=(EP+1./EP)/2.

FF=EXP (-VX-UR*COHP)

F=F+2.*FF

7 P=P+DP+DP

P=DP+DP

DO 9 I=2,28,2

EP=EXP (P)

COHP=(EP+1./EP)/2.

FF=EXP (-VX-UR*COHP)

F=F+2.*FF

9 P=P+DP+DP

F=F*DP/3.

RYKAL=Q*F\((6.28319*ALAM*DEL) +20.

RETURN

END